

- [6] LIU L, LI N, GAO C K. Study on diffusion kinetics of tetramethylpyrazine phosphate through free coating film of controlled porosity osmotic pump tablets and formulation optimization [J]. Chin Pharm J(中国药学杂志), 2011, 46(17): 1134-1139.
- [7] ZHAO X L, LI Q, GONG X F, et al. The delivery mechanism of micro-porous osmotic pump tablets [J]. Acta Pharm Sin(药学学报), 2007, 42(2): 226-230.
- [8] ZHAO X Y, ZHANG Z R, REN K, et al. Preparation, identification and thermodynamic stability of capsaicin-hydroxypropyl- $\beta$ -cyclodextrin inclusion compound [J]. China J Chin Mater Med(中国中药杂志), 2009, 34(4): 394-397.

收稿日期: 2013-04-18

## 葡聚糖凝胶微柱-HPLC 测定奥沙利铂脂质体包封率

刘阳<sup>1</sup>, 陶胜尧<sup>2</sup>, 郭伟英<sup>1\*</sup>(1.辽宁医学院药学院, 辽宁 锦州 121001; 2.东方中科生命科学有限责任公司, 沈阳 110209)

**摘要:** 目的 对奥沙利铂脂质体进行质量评价, 建立奥沙利铂脂质体包封率的测定方法。方法 采用凝胶微柱离心法分离游离药物与脂质体, 以 HPLC 测定奥沙利铂的药物含量, 计算脂质体的包封率。结果 奥沙利铂浓度在 0.02~1 mg·mL<sup>-1</sup> 内线性关系良好( $r=0.999\ 9$ )。3 批次奥沙利铂脂质体的包封率分别为 56.6%, 57.5%, 60.0%。结论 该方法简便、迅速, 可准确测定奥沙利铂脂质体的包封率。

**关键词:** 奥沙利铂; 脂质体; 高效液相色谱法; 包封率; 微柱离心法

中图分类号: R944.9

文献标志码: B

文章编号: 1007-7693(2014)01-0074-04

## Determination of Entrapment Efficiency of Oxaliplatin Liposomes by Sephadex Microcolumn Combined with HPLC

LIU Yang<sup>1</sup>, TAO Shengyao<sup>2</sup>, GUO Weiyang<sup>1\*</sup>(1. College of Pharmacy, Liaoning Medical University, Jinzhou 121001, China; 2. East CAS Life Science Co., Ltd., Shenyang 110209, China)

**ABSTRACT: OBJECTIVE** To evaluate the quality of oxaliplatin liposomes, and to establish a method to determine the entrapment efficiency of oxaliplatin liposomes. **METHODS** The gel microcolumn centrifugation method was employed to separate the free drug from the oxaliplatin liposomes. The content of oxaliplatin was determined by HPLC to calculate the entrapment efficiency. **RESULTS** A calibrated linear curve of oxaliplatin concentration was within 0.02~1 mg·mL<sup>-1</sup> ( $r=0.999\ 9$ ). The results showed that the average entrapment efficiencies of three batches of oxaliplatin liposomes were 56.6%, 57.5% and 60.0%, respectively. **CONCLUSION** The method is simple and rapid, and it can be used to determine the entrapment efficiency of oxaliplatin liposomes accurately.

**KEY WORDS:** oxaliplatin; liposome; HPLC; entrapment efficiency; gel microcolumn centrifugation

奥沙利铂(oxaliplatin, Ox)是继顺铂和卡铂之后的第 3 代铂类抗癌药, 其分子量为 397.29。与前两代铂类药物相比, Ox 在体内及体外的抗肿瘤作用效果好, 且用药安全<sup>[1-2]</sup>。它对结直肠癌、非小细胞肺癌、卵巢癌等实体瘤有明显的抑制作用<sup>[3]</sup>。Ox 具有特异的心脏和神经系统毒性, 且注射入体内后在肿瘤组织蓄积很少, 很难达到治疗浓度。脂质体是一种具有类生物膜双分子层结构的药物载体, 具有低毒、细胞亲和性和靶向性等特点。本实验以 Ox 为模型药物, 将 Ox 制成脂质体以提高靶向性, 降低其不良反应。包封率是评价脂质

体质量好坏的重要的指标之一<sup>[4]</sup>, 也是脂质体能否发挥高效、低毒特点的关键<sup>[5]</sup>。选择合适的方法来测定脂质体的包封率很重要, 测定包封率的关键是将脂质体与游离药物有效分离。目前常用的分离脂质体与游离药物的方法有离心超滤法、超速离心法、透析法、葡聚糖凝胶柱层析法等<sup>[6]</sup>。超滤法测定较快速, 但其所用的离心超滤管不可重复利用, 成本较高; 透析法虽设备简单, 但需不断更换透析介质, 耗时长; 超速离心法在分离时转速较高, 对温度控制严格, 故对离心机的要求较高; 葡聚糖凝胶柱色谱法使用填料较多, 成本提

作者简介: 刘阳, 女, 硕士生 Tel: 13188120567 E-mail: lyang0908@163.com  
13941627032 E-mail: wyinguo@163.com

\*通信作者: 郭伟英, 男, 硕士, 教授 Tel:

高，且较耗时。据文献<sup>[7]</sup>报道，应用葡聚糖凝胶微柱分离、高效液相色谱法(HPLC)来测定脂质体包封率，可以克服上述缺陷。凝胶微柱离心法是结合了葡聚糖凝胶柱以及离心分离方法的优点，利用反分子筛作用，脂质体的直径较大，不能进入葡聚糖凝胶的网眼中，而游离药物由于直径小可进入葡聚糖凝胶的网眼中，因此在洗脱中，脂质体首先被洗脱，在离心力作用下快速将脂质体与游离药物分离，对样品稀释程度小，且葡聚糖凝胶的用量较少。Ox 的分子量小，与脂质体的分子量相差悬殊，故可用此法来进行分离。本实验用 SephadexG-50 微柱离心法快速分离脂质体和游离药物，并对离心力和离心时间进行反复摸索，筛选出分离的最佳条件，再用 HPLC 测定脂质体中 Ox 含量，计算脂质体的包封率。

## 1 仪器与试剂

RE-52A 型旋转蒸发仪(上海亚荣生化仪器厂); L-2000Elite 型高效液相色谱仪(日立高新技术集团); UV-2550 型紫外分光光度计(日本 Shimadzu 公司); JEM-1010 透射电镜(日本电子株式会社), LD4-2A 低速离心机(北京医用离心机厂)。

Ox 原料药(山东铂源药业有限公司，含量 >99.5%，批号：1208020X); 大豆磷脂(上海金伴药业有限公司，批号：20110408); 胆固醇(天津东方试剂厂); 葡聚糖凝胶 SephadexG-50(上海化学试剂厂); 甲醇(色谱纯)、氯仿(分析纯)。

## 2 方法与结果

### 2.1 脂质体的制备

精密称取适量的磷脂和胆固醇溶于 20 mL 的氯仿中，然后称取适量的 Ox 原料药溶于磷酸盐缓冲液(PBS 缓冲液)中。在探头超声下，将溶有 Ox 的 PBS 缓冲液缓缓滴加到氯仿中，形成均一稳定的 W/O 型乳液。在 40 °C 下减压旋转蒸发除去氯仿，至瓶壁出现胶状物后继续减压蒸发得到脂质

体溶液。接着将脂质体溶液在 -20 °C 条件下冷冻 1 h 后融化 20 min，反复 3 次，过 0.45 μm 滤膜过滤即得。通过透射电镜，观察制备的 Ox 脂质体的形态及分布，可知制备的脂质体成圆形或类圆形，分布较均匀，结果见图 1。

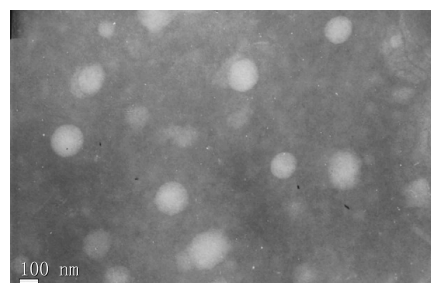


图 1 脂质体透射电镜图

**Fig 1** The transmission electron microscopy picture of oxaliplatin liposomes

### 2.2 溶液的配制

空白脂质体破乳液(I液)：精密量取空白脂质体溶液 0.2 mL，置于 10 mL 量瓶中，用流动相破乳并定容至刻度，摇匀，即得。

Ox 对照品溶液(II液)：精密称取 25 mg Ox，置于 25 mL 量瓶中，用流动相定容至刻度，摇匀，即得。

脂质体破乳液(III液)：精密量取 Ox 脂质体溶液 0.2 mL，置于 10 mL 量瓶中，用流动相破乳并定容至刻度，摇匀，即得。

### 2.3 分析方法的建立

**2.3.1** 色谱条件的选择 色谱条件：色谱柱 HypersilBDS C<sub>18</sub> 柱(200 mm×4.6 mm, 5 μm); 流动相：甲醇-水(5:95); 检测波长 250 nm; 柱温 25 °C; 流速：1.0 mL·min<sup>-1</sup>; 进样量 20 μL。

**2.3.2** 专属性的考察 取 I 液、II 液、III 液各 20 μL，按“2.3.1”项下色谱条件进行液相色谱分析，可知杂质峰与主成分峰分离良好，脂质体的辅料对药物的测定无影响，结果见图 2。

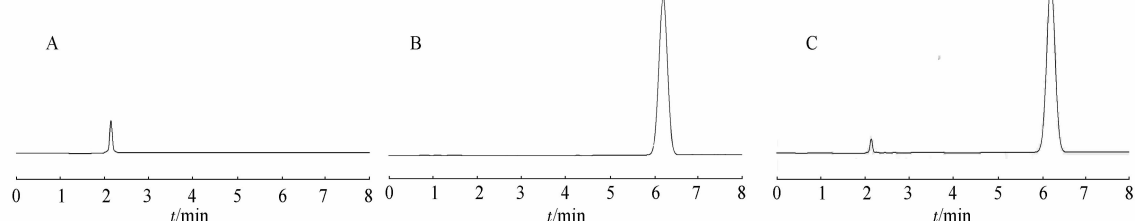


图 2 HPLC 色谱图

A-空白脂质体；B-奥沙利铂对照液；C-奥沙利铂脂质体

**Fig 2** HPLC chromatograms

A-blank liposome; B-oxaliplatin control; C-oxaliplatin liposome

**2.3.3 线性关系的考察** 分别精密吸取不同体积的II液，置于10 mL的量瓶中，用流动相定容至刻度，摇匀，分别配制成浓度为0.02, 0.05, 0.1, 0.2, 0.5, 1 mg·mL<sup>-1</sup>系列标准液。按“2.3.1”项下色谱条件进样测定，以浓度(C)为横坐标，峰面积(A)为纵坐标，进行线性回归，得到回归方程：  
 $A=2\ 845\ 666.357\ 4C+10\ 467.935\ 4, r=0.999\ 9$ 。表明Ox浓度在0.02~1 mg·mL<sup>-1</sup>内与峰面积呈良好的线性关系。

**2.3.4 精密度试验** 取“2.3.3”项下浓度为0.05, 0.5, 1 mg·mL<sup>-1</sup>的Ox溶液，按“2.3.1”项下的色谱条件，分别于1 d内连续进样6次，连续测定5 d，计算日内精密度RSD分别为1.16%, 0.86%, 1.03% (n=6)，日间精密度RSD分别为1.85%, 1.68%, 1.63% (n=5)，RSD均<2%，表明精密度良好。

**2.3.5 回收率测定** 精密量取0.1 mL空白脂质体溶液于10 mL量瓶中，共3份，每份中加入不同体积的1 mg·mL<sup>-1</sup>Ox标准液，用流动相稀释并定容至刻度，配制成低、中、高浓度(0.05, 0.5, 1 mg·mL<sup>-1</sup>)的溶液，每个浓度各3份，按“2.3.1”项下色谱条件进行液相色谱分析，计算回收率分别为99.7%, 99.9%, 100.2%，RSD分别为0.88%, 1.10%, 0.80% (n=3)。

## 2.4 脂质体与游离药物的分离

**2.4.1 微型凝胶柱的制备** 将Sephadex G-50浸泡在蒸馏水中，100 °C煮沸1 h，充分溶胀后冷却<sup>[8]</sup>，装入2.5 mL的去掉内塞的注射器中(底部放入2张略小于其内径的圆形滤纸)，排除气泡后，以水平衡2~3个柱体积，将微柱在500 r·min<sup>-1</sup>离心2 min除去多余水，得微柱(柱高约1.8 cm)，备用。

**2.4.2 微型凝胶柱对空白脂质体的吸附** 取空白脂质体0.1 mL缓缓加入到微柱的顶端，500 r·min<sup>-1</sup>离心1 min使空白脂质体进入微柱，继续加入0.2 mL的蒸馏水于微柱的顶端，1 000 r·min<sup>-1</sup>离心2 min，收集洗脱液，连续重复操作3次。合并收集液于10 mL量瓶中，用流动相稀释并定容至刻度。于500 nm处测定吸光度( $A_n$ )；另取0.1 mL空白脂质体于10 mL量瓶中，用流动相稀释并定容至刻度，于500 nm处测定吸光度( $A_0$ )；按照 $A_n/A_0 \times 100\%$ 计算微柱对空白脂质体的平均回收率为99.3%，RSD为0.53% (n=3)。表明此微柱几乎可以将空白脂质体全部洗脱下来。

**2.4.3 微柱对游离药物的吸附** 精密称取Ox原

料药3份，以缓冲液定容，配制成浓度分别为0.02, 0.3, 1 mg·mL<sup>-1</sup>的溶液。精密吸取各浓度的溶液0.1 mL，缓缓加入微柱顶端，按“2.4.2”项下条件离心洗脱，合并收集的洗脱液置于10 mL量瓶中，用流动相定容至刻度。按“2.3.1”项下色谱条件分别进样测定，记录峰面积为 $A_1$ 。精密量取各浓度的溶液0.1 mL于10 mL量瓶中用流动相稀释定容至刻度，按“2.3.1”项下色谱条件测定峰面积为 $A_0$ 。由于过柱后的峰面积太小，故用峰面积来计算微柱对游离药物的吸附率 $[(A_0-A_1)/A_0 \times 100\%]$ <sup>[9-10]</sup>。结果3种不同浓度药物的吸附率分别为98.8%，97.9%，99.0%，RSD分别为0.93%，1.53%，1.32% (n=3)。说明在洗脱范围内微柱几乎可以将游离药物完全吸附。

**2.4.4 微柱对空白脂质体和游离药物混合的物理吸附** 精密取0.1 mL的空白脂质体3份置于10 mL量瓶中，分别加入适量的Ox原料药，并用缓冲液定容至刻度，制成浓度分别为0.05, 0.5, 1 mg·mL<sup>-1</sup>的物理混合样液。按“2.3.1”项下色谱条件进行测定。分别取3个不同浓度的物理混合样液0.1 mL加入到微柱的顶端，按“2.4.2”项下离心条件来分离游离药物与脂质体，重复以上操作，收集每次的洗脱液，收集的洗脱液用流动相破乳后定容至10 mL，按“2.3.1”项下色谱条件进行HPLC测定，根据HPLC测定的峰面积与收集管数绘制洗脱曲线<sup>[11-12]</sup>，1~6管洗脱液为空白脂质体混悬液，7~14管洗脱液为游离Ox溶液，SephadexG-50微型凝胶柱可较好地将脂质体与游离Ox药物分离，结果见图3。

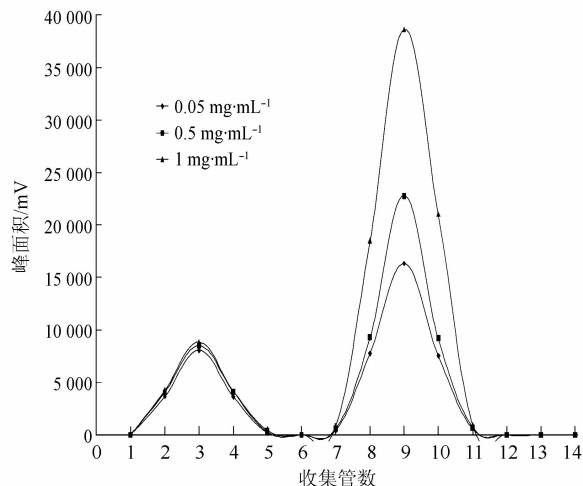


图3 凝胶微柱对空白脂质体与Ox物理混合物的分离

Fig 3 Separation of minicolumn of SephadexG-50 on blank liposome and oxaliplatin

## 2.5 脂质体包封率的测定

精密量取3份不同批次的Ox脂质体各0.1mL,上样于微柱的顶端,按“2.4.2”项下方法分离游离药物和脂质体,最终将收集液用流动相稀释定容至10mL量瓶中,按“2.3.1”项下色谱条件测定包封于脂质体中的药物浓度 $C_1$ 。再量取Ox脂质体溶液0.1mL于10mL的量瓶中,加流动相破乳并定容至刻度,按“2.3.1”项下的色谱条件测定总药物的浓度 $C_0$ ,计算包封率: $EE\% = C_1/C_0 \times 100\%$ 。最终测得脂质体的包封率分别为56.6%,57.5%,60.0%,RSD分别为1.28%,1.04%,1.42%(n=3)。

## 3 讨论

Ox为水溶性药物,水溶性药物脂质体多采用逆向蒸发法制备<sup>[13]</sup>,有文献<sup>[14]</sup>报道,采用逆相蒸发结合冻融法制得脂质体,可以明显提高脂质体的包封率。本试验采用逆向蒸发结合冻融法来制备,Ox脂质体的包封率比未经冻融制备的包封率有明显提高,包封率由15.3%±0.2%提高到58.0%±1.7%。

本试验分别以蒸馏水和不同pH的PBS缓冲液为洗脱液进行洗脱分离,结果用蒸馏水作洗脱液便可将脂质体与游离药物很好的分离,使用起来方便快捷。脂质体膜具有流动性,用蒸馏水进行洗脱时,脂质体膜两侧的渗透压变化并不足以引起膜的破裂,而影响脂质体的包封率。故最终选用蒸馏水作为洗脱液。本试验未采用生理盐水作为洗脱液,是因为Ox与生理盐水有配伍禁忌,Ox在生理盐水中会部分转化为顺铂和左旋异构体,对药物活性有影响。

离心的转速和离心时间对SephadexG-50微柱的分离效果有很大的影响。转速过高或离心的时间过长会使凝胶溶胀过程中吸收的水分分离出来,导致柱子中出现大量气泡甚至柱子断裂;转速过低或离心时间过短会减少脂质体的洗脱体积,从而导致脂质体和游离药物分离效果不好。经过反复的试验操作,最终确定先采用500r·min<sup>-1</sup>离心1min,使脂质体进入微柱中,而不被洗脱下来,再用1000r·min<sup>-1</sup>离心2min离出洗脱液为最佳的分离条件。

## REFERENCES

- [1] STATHOPOULOS G P, BOULIKAS T, KOURVETATIS A, et al. Liposomal oxaliplatin in the treatment of advanced cancer: a phase I study [J]. Anticancer Res, 2006, 26(2B): 1489-1493.
- [2] JIN X P. Comparison on the clinical curative effect and adverse reactions of the domestic vs imported oxaliplatin [J]. Chin J Hosp Pharm(中国医院药学杂志), 2012, 32(8): 621-623.
- [3] YU B L, MA Y P, LIU Q Z, et al. Review of anticancer platinum drugs [J]. Nat Sci J Hainan Univ(海南大学学报:自然科学版), 2005, 23(1): 72-80.
- [4] LIU Y, GUO W Y. Optimization of oxaliplatin liposome formulation by box-behnken experimental design [J]. Chin J Mod Appl Pharm(中国现代应用药学), 2013, 30(11): 1196-1202.
- [5] ZHENG N, ZHANG L D. A general situation in studies of quality control for liposomes [J]. Chin New Drugs J(中国新药杂志), 2004, 13(12): 1282-1286.
- [6] WEI R P, WANG Q Y, ZHU W C, et al. Determination of entrapment efficiency of amphotericin B liposome by mini-column centrifugation-HPLC [J]. Chin J Pharm Anal(药物分析杂志), 2009, 29(3): 427-429.
- [7] HONG H, LONG X Y, LI L R, et al. Optimized separation conditions for the determination of encapsulation efficiency of liposome-encapsulated capsaicin [J]. Acad J Guangdong Med Pharm(广东药学院学报), 2005, 21(2): 120-123.
- [8] WANG P, LIN H, ZHU B. Methods about swelling recovery and preservation of sephadex in gel filtration chromatography [J]. Exp Technol Manage(试验技术与管理), 2006, 23(2): 24-25.
- [9] LIU L P, JIN Y, LI Y. Determination of entrapment efficiency of clotrimazole liposome with Sephadex G-50 gel minicolumn centrifugation-HPLC [J]. Chin J Pharm Anal(药物分析杂志), 2007, 27(11): 1813-1814.
- [10] CUI T, GUO W Y. Determination of entrapment efficiency of capecitabine liposomes by microcolumn centrifugation-HPLC [J]. Chin J Pharm(中国医药工业杂志), 2012, 43(8): 682-684.
- [11] CHEN Z H, LIU P Y, WEI Y C. Determination of entrapment efficiency of doxorubicin magnetic thermo sensitive liposomes by mini-column centrifugation-reversed-phase high performance liquid chromatography [J]. Pharm J Chin PLA(解放军药学学报), 2010, 26(6): 496-499.
- [12] ZHANG Y, ZOU H, CHEN J M. Determination of entrapment efficiency of teniposide liposomes by SephadexG-50 gel minicolumn centrifugation-HPLC [J]. Chin New Drugs J(中国新药杂志), 2009, 18(16): 1572-1576.
- [13] YANG M Y, LI Y M, MEI X G. Determination of entrapment efficiency of oxaliplatin liposome and its release profile *in vitro* [J]. Bull Acad Mil Med Sci(军事医学科学院院刊), 2007, 31(5): 448-450.
- [14] ZHANG Q, DENG Y J. The preparation of 5-FU liposome by a freezethawing method and the study on its stability [J]. J Shenyang Pharm Univ(沈阳药科大学学报), 2000, 17(2): 87-89.

收稿日期: 2013-04-21